

Sphérides multicellulaires

I. Modèles de tissus cancéreux : sphérides, organoides, neurosphères, capsules...

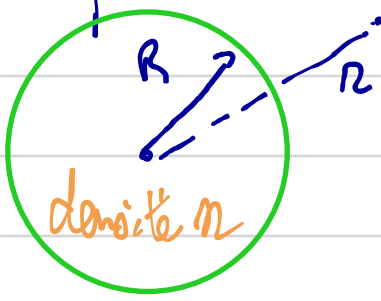
1 - Sphérides

Les sphérides sont des agrégats de cellules (souvent cancéreuses) qui sont considérés comme des bons modèles des tumeurs pour étudier la croissance, la résistance aux drogues, la métabolisme et la mort cellulaire ou les interactions entre cellules cancéreuses et les cellules du système immunitaire. Montel et al 2021, Hirschhauser et al J. Biotechnology 2010. Slides Achermann et al 2021

Sur les images fluo-émissives propriétés apparaissent. Les sphérides sont sphériques. Ils réagissent comme des fluides quand on les comprime ou qu'ils s'approchent entre eux M. Steinberg! Cela pousse à les considérer comme des gouttelettes de cellules avec une tension de surface σ et une viscosité η . Aujourd'hui nous allons plutôt discuter la viscosité très élevée $\eta \approx 10^6 \text{ Pa.s}$ et dans le but d'inverser la tension de surface. La taille des sphérides varie de 200 à 800 µm et ils croissent pendant ≈ 15 jours (temp de division cellulaire 1 jour) pour atteindre leur taille stationnaire. La croissance est due à la division cellulaire. La division cellulaire n'est pas uniforme Montel et Hirschhauser les cellules se divisent dans une fine couche à l'extérieur ($\approx 70 \mu\text{m}$) et meurent dans le cœur des sphérides. Si la taille est stationnaire cela signifie qu'il y a un écoulement de cellules de la surface vers l'intérieur qui transport les cellules vers le cœur où elles meurent souvent par apoptose (mort programmée)

Rq : Formation d'un cœur nécrotique qui croît.

Il y a deux raisons à la division plus facile en surface : les nutriments nécessaires à la division sont absorbés par les cellules de surface et un effet mécanique



$$\text{Pour les nutriments } \frac{\partial c}{\partial t} = D \nabla^2 c - \alpha n c$$

diffusion \rightarrow absorption

Rq Les nutriments sont des sacs ou de l'oxygène

Il y a une longueur caractéristique de l'absorption $2 - \sqrt{\frac{D}{\lambda}}$ et si $\lambda \ll R$ ce qui est souvent le cas la concentration en nutriments décroît à partir de la surface sur une distance λ . Pour l'oxygène il n'en est pas de même. L'effet mécanique opère sur la croissance avant la diffusion. La cellule qui croît doit toucher ses voisines et il y a moins de voisins sur la surface.

2. Autres agrégats cellulaires

- Organoides : agrégats recombinés à partir de cellules souche H. Clonis
- Neurosphères formées par aggrégation de progéniteurs de neurones Spongy.
- Capsules polymériques (alginate) J. Ballesta Soft Matter 2010, Almanchi, Nassar et al PNAS 2013

3. Division cellulaire et Pression homéostatique

Nous avons déjà vu au premier cours de l'année que l'équation de conservation des cellules s'écrivait $\frac{\partial n}{\partial t} + \vec{\nabla} \cdot n \vec{v} = n(h_d - h_a) + \xi(t)$

h_d est la taux de division cellulaire et h_a le taux de mort cellulaire (apoptose) ces taux dépendent de l'environnement de la cellule (nutriments, oxygène et propriétés mécanique). En général h_d décroît avec la pression des cellules et h_a croît. Le taux de croissance (ou de prolifération) $h_d - h_a$ décroît avec la pression. Il s'annule à la pression homéostatique P_h . Le tissu croît si $P > P_h$ et décroît si $P < P_h$. (Voir exercices ci-dessous) L. Biegin LFJ
Cours des Houzeau 2018 Figure M. Basan HFSE Journal 2003

Rq Différence entre la pression cellulaire et la pression hydrostatique
 $P_c \sim 1000 \text{ Pa}$, $P_h \sim 10^5 \text{ Pa}$

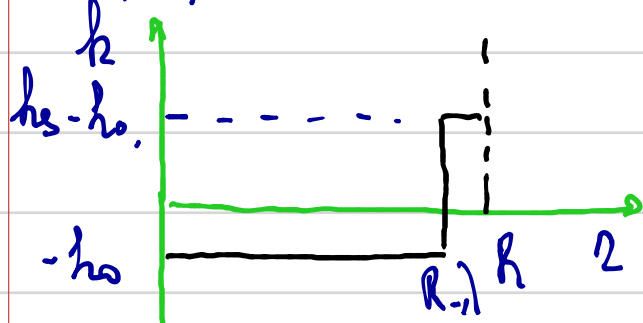
II Dynamique de croissance des spherides

1 Modèle à 1 composant

On considère un spheride comme un système à 1 composant avec des cellules effectives (qui induisent le fluide extra-cellulaire), de concentration n_e . (On néglige le fluide).

$\frac{\partial n}{\partial t} + \vec{V}(\vec{n}) = k n$. Nous allons aussi considérer que le trou est incompressible $n = \text{const}$

la divergence de la vitesse \vec{n} est alors nulle. Le système est cylindrique et les propriétés ne dépendent que de R .



Les cellules se divisent dans la couche extérieure d'épaisseur λ et meurent au centre où la concentration en nutriments est très faible

$$\frac{1}{R^2} \frac{\partial}{\partial R} R^2 \vec{v} = h(R) \quad \text{Si } h \text{ est constant } N = \frac{k_1 R}{3} + \frac{A}{2^2} \quad \text{Dans la}$$

régin central $N(2) = -h_0 R/3$ et dans la régin extérieure $N = (h_s - h_0) \frac{R}{3} - \frac{h_s (R-\lambda)^3}{3 R^2}$. La vitesse doit être finie au centre et le flux $n v \frac{3}{2}$ est continu en $R = (R-\lambda)$. Profil de vitesse



Pendant la croissance $v(R)$ est positif et décroît avec le temps et devient nul dans l'état stationnaire

$$\text{A la surface } v(R) = \frac{dR}{dt} = (k_{1s} - h_0) \frac{R}{3} - h_s \frac{(R-\lambda)^3}{3 R^2}$$

le nombre de cellules est $n \frac{4}{3} \pi R^3 = N$, en multipliant par $4 \pi R^2 n$

$$\frac{dN}{dt} = -h_0 N + h_s N_s \frac{3}{3} \quad N_s = n [V - V_2] \quad \text{où } V_2 \text{ est le volume de}$$

la couche dans laquelle les cellules se divisent $V_2 = \frac{4}{3} \pi R^3 - \frac{4}{3} \pi (R-\lambda)^3$

$$\text{Si } R < \lambda \quad \frac{dR}{dt} = (h_s - h_0) \frac{R}{3}$$

croissance exponentielle (seulement régin extérieure)

$$\text{Si } R > \lambda \quad \frac{dR}{dt} = h_s \lambda - \frac{h_0 R}{3} \quad R = R_0 \left[1 - e^{-\frac{h_0 t}{3}} \right]$$

La croissance est linéaire au début $t < 1/\frac{h_0}{3}$ jusqu'à $R_0 = \frac{3 \lambda h_0}{h_0}$

Résultats expérimentaux F. Martel M. Delano

On en déduit la variation de λ_0 avec la pression et la pression hydrostatique qui est négative. Mesure du champ de vitesse M. Declerc Phys Rev Lett 2012

- Ebbesson et Pournin à l'intérieur du sphéroïde : on considère le trou comme un fluide visqueux avec la viscosité constante η et la longueur de S de l'ordre de $\lambda_0^5 - \lambda_0^2$ Pa.s. La divergence de \vec{v} n'est pas nulle

$$\eta \nabla^2 v + S \vec{\nabla} \cdot (\vec{\nabla} v) - \vec{\nabla} P = 0 \quad \text{Equation de Stokes. Comme } \vec{\nabla} \times \vec{v} = 0 \text{ on obtient } \nabla [(\eta + S) \nabla v \cdot \vec{P}] = 0 \text{ soit } P = P_0 + (\eta + S) h.$$

La pression est constante dans chacun des 2 régions où h est constant. Elle est plus grande sur la surface et plus petite à l'intérieur, ce qui explique les vitesses radiales négatives

2. Simulations numériques

- Je vais mentionner 2 types de simulations numériques

- J. Elsgaß (Séminaire l'an dernier). Chaque cellule est représentée par 2 points qui se repoussent pour simuler la croissance. La cellule se divise quand la taille atteint une valeur critique. (Dissipative Particle Dynamics). Pression extérieure appliquée. Potentiel d'interaction ⁽¹⁾ Slides

- D. Dracos Potentiel d'interaction entre les centres des cellules plus réaliste. Modélisation du cycle cellulaire. Prend en compte les déformations des cellules. Etudie à la fois la croissance des sphéroïdes sous pression et les sphéroïdes dans des capteurs d'alginatate.

3. Modèle à 2 fluides J. Rani et al EPL E (2012)

Pour être plus réaliste, il faut faire un modèle à 2 composants, les cellules et le fluide extracellulaire (eau + protéines + ..) Mon modèle devient plus raffiné prend en compte la matrice extra-cellulaire. Les cellules occupent une fraction c du volume et ont une vitesse \vec{v}_c et le fluide extracellulaire une fraction volumique $1-c$ et une vitesse \vec{v}_f . Le centre de masse a une vitesse $\vec{v} = c \vec{v}_c + (1-c) \vec{v}_f$. Le fluide total

est incompressible $\nabla \cdot \vec{v} = 0$ soit $\vec{N}_f - \frac{\varphi \vec{v}_c}{1-\varphi}$. En écrivant cela on suppose que les débats des à la matrice cellulaire $1-\varphi$ sont inclus dans le fluide extracellulaire. $1-\varphi$ est petit si on appelle d la distance entre cellules et



$\left. \begin{array}{l} \text{1. } \varphi \approx \frac{d}{R} \\ \text{2. } \text{Par rapport au modèle à un fluide, le modèle} \\ \text{à deux fluides prend en compte la perméation du fluide extracellulaire} \\ \text{entre les cellules. Nous suivons l'approche des modèles à 1 fluide pour les systèmes} \\ \text{polymériques M. Do.} \end{array} \right\}$

$$\begin{aligned} -\xi(\vec{N}_c - \vec{v}_f) + (\eta + \xi)\nabla^2 \vec{N}_c - \nabla P_c &= \vec{0} \\ -\xi(\vec{N}_f - \vec{v}_c) - \nabla P_f &= \vec{0} \end{aligned}$$

cellules

fluides $\eta_s \approx 0 \frac{\eta_s}{\eta} \approx 10^{-8}$

Il y a 2 pressions: la pression cellulaire P_c dissipée plus haut et la pression du fluide qui est la pression hydrostatique. Si on suppose les cellules incompressibles, l'équation de conservation des cellules s'écrit $\nabla \cdot \vec{v}_c = h(P_c)$. On réécrit l'équation dynamique des cellules en tenant compte $\vec{N}_f - \xi \frac{\vec{N}_c}{1-\varphi} + (\eta + \xi)\nabla^2 \vec{v}_c - \nabla P_c = \vec{0}$

Il y a une longueur caractéristique $\lambda^2 = \frac{(\eta + \xi)(1-\varphi)}{\xi}$. Le coefficient de dissipation $\xi \approx \frac{\eta_s}{\eta}$ donc $\lambda^2 \approx \frac{1}{(1-\varphi)(\eta + \xi)}$. Si $d = 0$, $\lambda^2 \approx R^2 \times 10^4 \frac{\eta_s}{d^2}$ et $\lambda \approx 100 \mu m$ ce qui est de l'ordre de grandeur de la taille des sphéroïdes. A ces échelles de taille plus grandes que λ la dissipation est dominée par la perméation et aux échelles de taille plus petite que λ la dissipation est dominée par la viscosité. On peut ignorer la perméation et on retrouve le modèle à 1 fluide.

Rq.: A temps court après une perturbation les cellules se comportent comme un solide et il faut utiliser la théorie de la plasticité due à M. Do et voir M. Delogu, P. Redo, G. Cappello Lolo. On peut aussi prendre en compte la matrice extracellulaire.

III. Applications des sphéroïdes

1. Effet de la prolifération cellulaire sur l'action des drogues

M. Delarue et ses collaborateurs ont étudié l'effet de la drogue alphacétobutine sur la prolifération de cellules cancéreuses du pancréas en utilisant des opiacés Roganti et al PRL 200. Il a été montré que l'effet de la drogue est inhibé quand la tumeur est sous pression. Une explication possible est que la pression bloque l'accès de la drogue à la tumeur mais cet effet n'explique pas les observations.

L'expérience étudie la croissance dans un gel d'agarose d'un opiacé de cellules cancéreuses du pancréas. La croissance viene des contenants dans le gel qui réduisent le taux de division.

La drogue n'agit que sur les cellules qui prolifèrent après que ces cellules sont entrées en phase S. En reprenant les équations de croissance des opiacés $\frac{dN}{dt} = -k_0 N + k_1 N_S + \frac{dN}{dt} \text{ drogue}$. On écrit

$$\frac{dN_S}{dt} \text{ drogue} = -dN_S k_S$$

↑
 ajoutée en
 volume }
 croissance
 en surface effet de la
 drogue sur N_S

Dans les étapes initiales de la croissance, l'apoptose est négligeable $k_{0,20}$. Si on introduit la drogue à $t = t_0$, il augmente avec le temps et les auteurs écrivent $d - d_0 [1 - e^{-R(t-t_0)}]$. Le taux R est le temps de retard d'action de la drogue qui correspond au passage des cellules en phase S. Dans une première expérience les auteurs étudient un opiacé dans pression mais avec drogue. Ils mesurent le taux de croissance effectif $k_S(P=0)(1-d)$, puis un opiacé sous pression mais dans drogue ils mesurent $k_S(P)$ (voici les expériences plus haut).

En ajoutant la drogue ils mesurent un taux de croissance $k_S(P)(1-d)$ d se dépendant pas de la pression. Ce qui est cohérent avec un accès à la drogue non modifié. La parabole d0 est parallèle à 1 et au bout de quelques jours le opiacé devient plus petit que son rayon initial. On mesure alors la décroissance d'un opiacé libre (qui ne déforme pas le gel). Les auteurs ont observé le même effet avec une autre drogue

2. Sphérides en co-culture cellulaire M. Benarab, J. Achermann

des sphérides ont aussi été utilisés pour étudier les interactions entre cellules cancéreuses et cellules du système immunitaire qui sont à la base de l'immunothérapie pour traiter le cancer. Avec P. Benarab et J. Niholz, nous étudions les interactions entre cellules cancéreuses KP (cellules cancéreuses de poisson) et macrophages. Les macrophages dans les tumeurs augmentent la division cellulaires et sont un maladie pronostic.

L'étude de la croissance de sphérides de cellules KP en co-culture avec des macrophages montre que les sphérides sont plus petits et plus nombreux (figuré). Ils favorisent la prolifération. Des sphérides plus petits favorisent l'accès aux nutriments et donc la division cellulaire (ce qui n'exclut pas un mécanisme plus biologique direct).

Pour essayer de comprendre J. Achermann étudie la croissance de sphéride contenant des macrophages en combinant la cinétique de croissance avec une théorie de type Cahn-Hilliard afin de prédire la distribution de macrophages. Figuré de simulations. La figure montre la croissance d'un sphéride où les cellules initiales sont toutes identiques mais se divisent de manière assymétrique

(1) Répulsion à courte distance et adhésion à plus grande distance de portée finie → Suite person de désordre

Débat de J.-H. R pour le potentiel

